

**Departamentul de Chimie Organică & CCOCCAN
Universitatea Babeș-Bolyai
Cluj-Napoca, 400028
ROMÂNIA**



DESIGNUL, SINTEZA ȘI ANALIZA STRUCTURALĂ A UNOR NOI SPIRANI, MACROCIKLII ȘI DISPOZITIVE MOLECULARE. CHIMIA SUPRAMOLECULARĂ LA NOI FRONTIERE

Abstractul Tezei de Doctorat

GÂZ ȘERBAN ANDREI

Președintele juriului: Prof. Dr. Florin Dan Irimie

Coordonator științific: Prof. Dr. Ion Grosu

Referenți: Prof. Dr. Yvan Ramondenc

Prof. Dr. Ionel Mangalagiu

Prof. Dr. Cristian Silvestru

M. C. al Academiei Române

Universitatea Babeș Bolyai

Universitatea Babeș Bolyai

Université de Rouen

Universitatea A.I. Cuza

Universitatea Babeș Bolyai

**Cluj-Napoca
2010**

Cuprins

1. Porți logice în chimia supramoleculară.....	3
1.1 Introducere	3
1.2 Istoric.....	3
1.3 Concepte fundamentale ale porților logice	4
1.4 Sumarul operațiilor logice elementare	6
1.5 Conceptul de poartă logica în chimie.....	8
1.6 Porțile logice YES și NOT.....	10
1.7 Porțile logice OR și NOR	14
1.8 Porțile logice XNOR (eXclusive NOR) și XOR (eXclusive OR).....	21
1.9 Porțile logice AND și NAND.....	28
1.10 Poarta logică INH (inhibit).....	34
1.11 Concluzii	37
1.12 Bibliografie	38
2. Designul, Sinteza și Analiza Structurală a unor noi Derivați Spiro și Polispiro-1,3-ditianici.....	45
2.1 Introducere	45
2.2 Sinteza și analiza structurală a precursorilor	46
2.3 Aspecte structurale în stare solidă	50
2.4 Aspecte structural în soluție.....	53
2.5 Entități supramoleculare	60
2.6 Concluzii.....	62
2.7 Partea experimentală	63
2.7.1 Metoda generală pentru sinteza compușilor 10–14.....	65
2.7.2 Sinteza tetratiapentaeritritolului (3).....	65
2.7.3 3,9-Bis(meta-nitrofenil)-2,4,8,10-tetratiapiro-[5.5]undecane (10).....	66
2.7.4 3,9-Bis(meta-hidroxifenil)-2,4,8,10-tetratiapiro-[5.5]undecane (11).....	67
2.7.5 3,9-Diizopropil-2,4,8,10-tetratiapiro[5.5]undecane (12)	68
2.7.6 3,3,9,9-Tetrametil-2,4,8,10-tetratiapiro[5.5]undecane (13)	69
2.7.7 3,15-Difenil-7,11,18,21-tetratiatrispiro-[5.2.2.5.2.2]heneicosane (14).....	70

2.8	Anexe.....	71
2.9	Bibliografie.....	73
3.	Noi ciclofani cu posibile aplicații în chimia monostraturilor auto asamblate.....	79
3.1	Introducere.....	79
	Chimia ciclofanilor.....	79
	Monostraturi auto asamblate (Self Assembled Monolayers).....	79
3.2	Calea retrosintetică a compușilor țintă.....	81
3.3	Sinteza podanzilor.....	82
3.4	Sinteza intermediarilor macrociclici.....	86
3.5	Spectroscopia UV-VIS și de fluorescență.....	89
3.6	Voltametrie ciclică.....	91
3.7	Proprietăți de complexare.....	91
3.8	Concluzii.....	93
3.9	Partea experimentală.....	94
3.9.1	Noțiuni generale.....	94
3.9.2	Sinteza 2,3-dimetil-1,4-di(1',4',dioxabutan-1'-yl)-benzenului (5a).....	96
3.9.3	Sinteza 2,3-dimetil-1,4-di(1',4',7'-trioxaheptan-1'-yl)-benzenului (5b).....	97
3.9.4	2,3-dimethyl-4-(1',4',7'-trioxaheptane-1'-yl)-fenolului.....	98
3.9.5	Sinteza 2,3-dimetil-1,4-di(1',4',7',10'-tetraoxadecan-1'-yl)-benzenului (5c).....	99
3.9.6	Sinteza 1,4-dibrometil naftalenei.....	100
3.9.7	Metoda generală pentru sinteza intermediarilor ciclofanici.....	101
3.9.8	8,9-dimetil-3,6,11,14-tetraoxatetraciclo [14,6,2 ^{1,16} ,2 ^{7,10} ,0 ^{17,22}] 1(26),7,9,16(25),17,19,21,23-octena.....	101
3.9.9	11, 12-dimetil-3,6,9,14,17,20-hexaoxatetraciclo [20,6,2 ^{1,22} ,2 ^{10,13} ,0 ^{23,28}] 1(32),10,12,22(31),23,25,27,29-octena.....	102
3.9.10	14,15-dimetil-3,6,9,12,17,20,23,26-octaoxatetraciclo [26,6,2 ^{1,28} ,2 ^{13,16} ,0 ^{29,34}] 1(38),13,15,28(37),29,31,33,35-octena.....	103
3.10	Bibliografie.....	104
4.	Sinteza unei noi pense moleculare.....	109
4.1	Introducere.....	109
4.2	Schema retrosintetică.....	112
4.3	Sinteza fragmentului A.....	114
4.4	Sinteza tijei.....	120

4.5	Sinteza pedalei C.....	123
4.6	Concluzii.....	126
4.7	Partea experimentală	127
4.7.1	Condiții generale.....	127
4.7.2	Metoda generală de sinteză a acizilor oxobutanoici substituiți	128
4.7.3	Metoda generală de sinteză a esterilor oxobutanoici substituiți	130
4.7.4	Sinteza ciclopentenei disubstituite.....	132
4.7.5	Sinteza ferocenului tetrasubstituit.....	133
4.7.6	Sinteza 3,5-dibromo-2-metiltiofenului	134
4.7.7	Sinteza 3-bromo-2-metil-tiofenului	135
4.7.8	Sinteza derivatului perfluorociclopentenic	136
4.7.9	Sinteza 1-bromo-4-(prop-2-ynyloxi)-benzenului.....	137
4.7.10	Sinteza 1-(p-acetil)-3-(p-bromofenoxi)-1-propinei	138
4.7.11	Sinteza acidului p-tolilboronic.....	139
4.7.12	Sinteza acidului 4-(bromometil)fenilboronic.....	140
4.8	Bibliografie.....	141
5.	Concluzii generale.....	143

Capitolul 1

PORȚI LOGICE ÎN CHIMIA SUPRAMOLECULARĂ (3)

Capitolul 2

DESIGNUL, SINTEZA ȘI ANALIZA STRUCTURAL A UNOR NOI DERIVAȚI SPIRO SI POLISPIRO-1,3-DITIANICI (45)

Capitolul 3

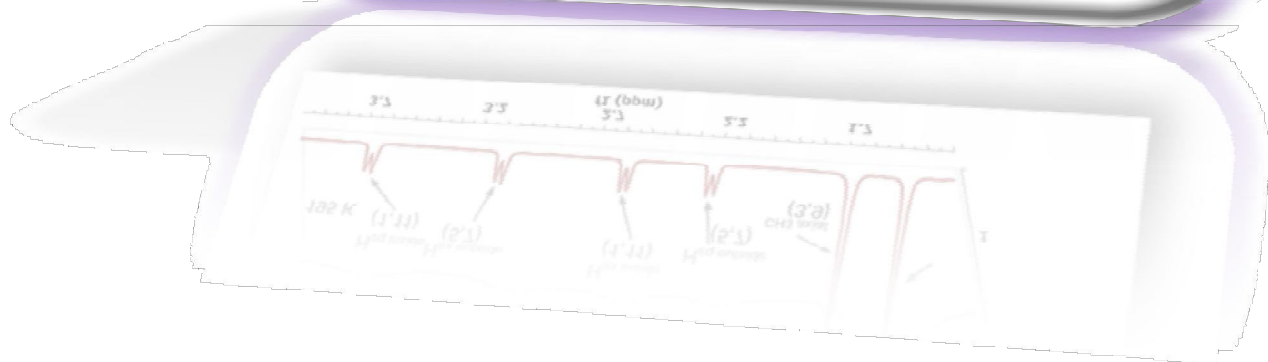
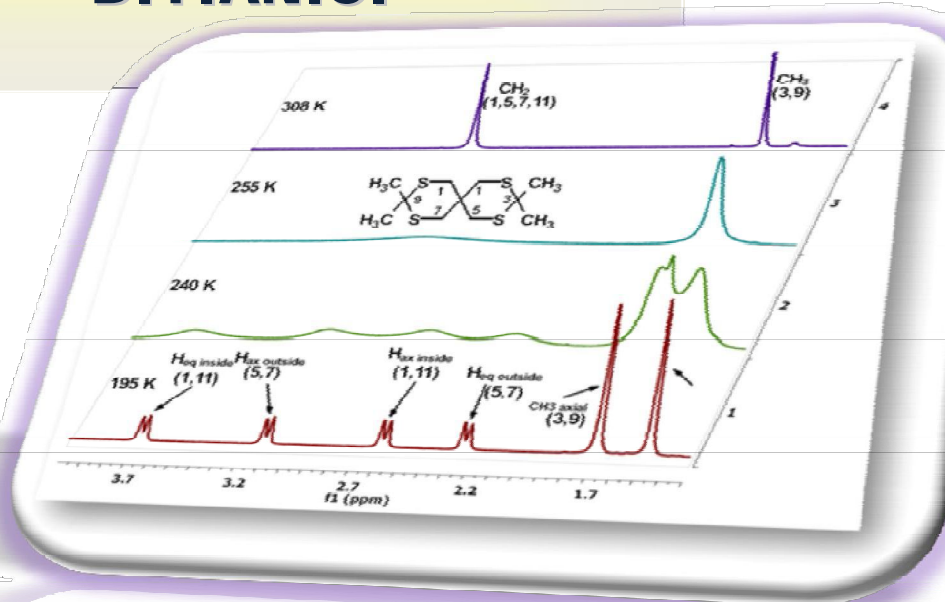
NOI CICLOFANI CU POSIBILE APLICAȚII ÎN CHIMIA MONOSTRATURILOR AUTO ASAMBLATE (SAM) (79)

Capitolul 4

SINTEZA UNEI NOI PENSE MOLECULARE (109)

Capitolul 2

DESIGNUL, SINTEZA ȘI ANALIZA STRUCTURALĂ A UNOR NOI DERIVAȚI SPIRO ȘI POLISPIRO-1,3-DITIANICI



2. Designul, Sinteza și Analiza Structurală a unor Noi Derivați Spiro și Polispiro-1,3-ditianici

2.1 Introducere

Spiranii sunt compuși care conțin cicluri (cel puțin două) care au un singur atom comun. Numele de "spiran" vine din latinul *spira*, însemnând răsucit sau învartit, și implică faptul că inelele spiranice nu sunt în relație coplanaritate.¹ Un număr mare de lucrări au fost raportate de-a lungul timpului abordând sinteza, structura și activitatea biologică a compușilor spiranici hexaatomici. Multe dintre unitățile spiranice hexaatomice se regăsesc în compuși naturali prezentând activitate specifică cum ar fi antibiotice,² feromoni,³ macrolide marine⁴ și agenți antitumorali.⁵

Spiranii cu unități hexaatomice și polispiranii reprezintă un subiect de interes în chimia organică. Stereochimia lor este corelată cu chiralitatea elicoidală pe care o prezintă scheletul spiro[5.5]undecanic.^{6,7,8,9} Analiza conformațională a spiranilor cu inele hexaatomice a fost, în principal, efectuată folosind metode RMN și a relevat flexibilitatea sau rigiditatea structurii de bază în funcție de substituenții scheletului spiranic.^{6-9,10,11} Cea mai mare parte a investigațiilor privind spiranii cu unități hexaatomice au fost concentrate pe derivați cu inele 1,3-dioxanice. Avantajul investigațiilor efectuate asupra derivaților spiro-1,3-dioxani se bazează pe faptul că deja stereochimia sistemului 1,3-dioxanic este deja foarte bine cunoscută^{12,13,14,15}, considerându-se că investigațiile RMN asupra spiro-1,3-dioxanilor sunt astfel facilitate.¹⁶

¹ Eliel, E. L.; Wilen, S.H. *Stereochemistry of Organic Compounds*, John Wiley & Sons: New York, **1994**, pp. 1138

² Boivin, T. L. B. *Tetrahedron*, **1987**, *43*, 3309-3362

³ O'Shea, M. G.; Kitching, W. *Tetrahedron*, **1989**, *45*, 1177-1186

⁴ Smith, A. B.; Frohn, M. *Org. Lett.*, **2001**, *3*, 3979-3982

⁵ Crimmins, M.; Katz, J.; Washburn, D. G.; Allwein, S. P.; McAtee, L. F. *J. Am. Chem. Soc.*, **2002**, *124*, 5661-5663

⁶ Grosu, I.; Mager, S.; Plé, G.; Horn, M. *J. Chem. Soc., Chem. Commun.* **1995**, 167-168

⁷ Grosu, I.; Mager, S.; Plé, G. *J. Chem. Soc., Perkin Trans. 2* **1995**, 1351-1357

⁸ Terec, A.; Grosu, I.; Condamine, E.; Breaux, L.; Plé, G.; Ramondenc, Y.; Rochon, F. D.; Peulon-Agasse, V.; Oprea, D. *Tetrahedron* **2004**, *60*, 3173-3189

⁹ Cismaș, C.; Terec, A.; Mager, S.; Grosu, I. *Curr. Org. Chem.* **2005**, *9*, 1287-1314

¹⁰ Grosu, I.; Plé, G.; Mager, S.; Martinez, R.; Mesaroș, C.; Camacho, B. del C. *Tetrahedron* **1997**, *53*, 6215-6232

¹¹ Terec, A.; Grosu, I.; Muntean, L.; Toupet, L.; Plé, G.; Socaci, C.; Mager, S. *Tetrahedron* **2001**, *57*, 8751-8758

¹² Kleinpeter, E. *Adv. Het. Chem.* **1998**, *69*, 217-269

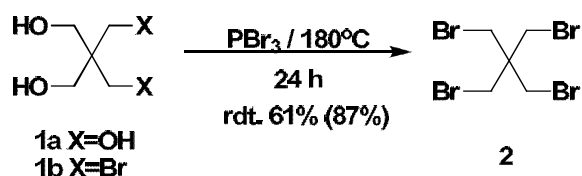
¹³ Kleinpeter, E. *Adv. Het. Chem.* **2004**, *86*, 41-127

¹⁴ Eliel, E.; Wilen, S. H. *Stereochemistry of organic compounds*, John Wiley & Sons: New York, **1994**, pp 686-754

Derivații 1,3-ditianici sunt mult mai puțin studiați¹⁷ decât cei 1,3-dioxanici. Eliel¹⁸ și Pihlaja¹⁹ au determinat valorile A pentru unii substituenți alchil, aril sau substituenți polari aflați în diferite poziții ale inelului 1,3-ditianic. Aceste investigații au arătat că pentru grupările alchil și aril valorile A sunt similare cu cele găsite în seria ciclohexanului, în timp ce pentru mai multe grupări polare situate în poziția 2 s-a observat o preferință pentru o orientare axială.

2.2 Sinteza și analiza structurală a precursorilor

Pornind de la pentaeritritol sau de la 2,2-bis(bromometil)-1,3-propandiol ambii disponibili comercial, derivatul **2** a fost obținut în absența solventului printr-o substituție nucleofilă. Derivatul tetrabromurat **2** a fost apoi purificat printr-o extracție Soxhlet utilizând etanol ca solvent (**Schema 1**).



Schema 1

Prin urmare, a fost necesar să se urmeze o metodă indirectă care să favorizeze obținerea derivatului de tetratiapentaeritritol. Folosind metoda descrisă de Mitkin și Kutateladze,²⁰ în urma căreia bromul este înlocuit de gruparea tioacetat, s-a reușit obținerea tetratiapentaeritritolului protejat (tetraacetilat) cu un randament moderat, datorită în principal dificultăților întâmpinate prelucrarea și purificarea compusului. S-a observat o creștere a randamentului în cazul folosirii sării de potasiu proaspăt preparate. Tetratiapentaeritritol dorit a fost obținut prin saponificare, în

¹⁵ Anteunis, M. J. O.; Tavernier, D.; Borremans, F. *Heterocycles* **1976**, *4*, 293-371

¹⁶ Grosu, I.; Mager, S.; Plé, G.; Darabanțu, M. *Résonance Magnétique Nucléaire Appliquée à l'Analyse Structurale de Composés Organiques*, Publications de l'Université de Rouen, **1999**, pp 145-190

¹⁷ Kleinpeter, E. *Conformational Analysis of Six-Membered Sulfur-Containing Heterocycles in Conformational Behavior of Six-Membered Rings – Analysis, Dynamics, and Stereoelectronic Effects*, editor Juaristi, E. VCH Publisher: New York, **1995**, pp 201-243

¹⁸ Eliel, E. L.; Hutchins, R. O. *J. Am. Chem. Soc.* **1969**, *91*, 2703-2715

¹⁹ Pihlaja, K. *J. Chem. Soc. Perkin Trans. 2* **1974**, 890-895

²⁰ Mitkin, O. D.; Wan, Y.; Kurchan, A. N.; Kutateladze, A. G. *Synthesis* **2001**, 1133-1142.

tetratiaspiro[5.5]undecanici (randamentele variind de la 49 la 74%). Mecanismul acestei reacții nu este încă elucidat. Procedurile aplicate pentru reacția de tioacetalizare²³ clasică pornind de la compuși carbonilici au eșuat.

2.3 Aspecte structural în stare solidă

Structura moleculară în stare solidă a compusului **10** a fost determinată prin difracție de raze-X a monocristalului obținut. Diagrama ORTEP (**Figura 1**) relevă conformația scaun pentru unitățile 1,3-ditianice. Inele aromatice sunt orientate ecuatorial și manifestă un comportament rotameric aproape de cea a conformerului bisectional. Unghiul dintre inele aromatice și cel mai bun plan al inelului 1,3-ditianic este de $26^{\circ} 28'$, în timp ce unghiul format între inele aromatice este de $52^{\circ} 42'$.

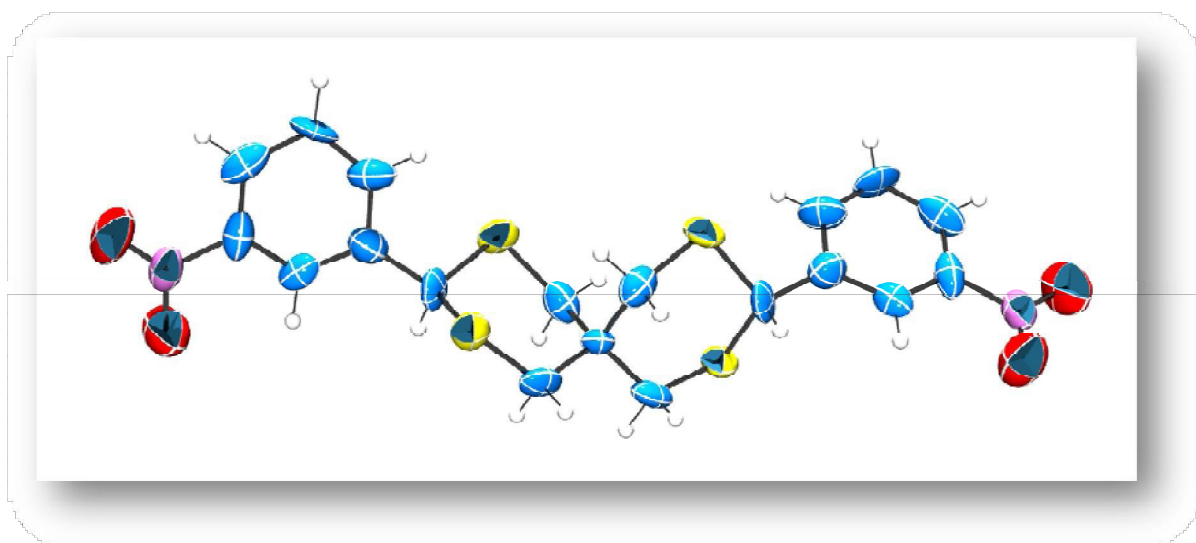


Figura 1 Diagrama ORTEP a compusului 10.

În rețea se observă un aranjament zig-zag a moleculelor (**Figura 2**). Fiecare moleculă în parte prezintă patru interacțiuni CH- π . Două dintre ele implică protonii axiali ai grupărilor metilen *inside* (pozițiile 1,11) ale unități 1,3-ditianice și grupările aromatice aparținând celor două molecule învecinate. Celelalte două interacțiuni de acest tip implică inele aromatice și protonii metilenici axiali *inside* ai unității 1,3-ditianice aparținând moleculei spiranice învecinate (distanțele de la atomul H_{axial} la centroidul inelului aromatic sunt $d=2.92 \text{ \AA}$).

²³ Bonifačić, M.; Asmus, K.-D. *J. Org. Chem.* **1986**, *51*, 1216-1222